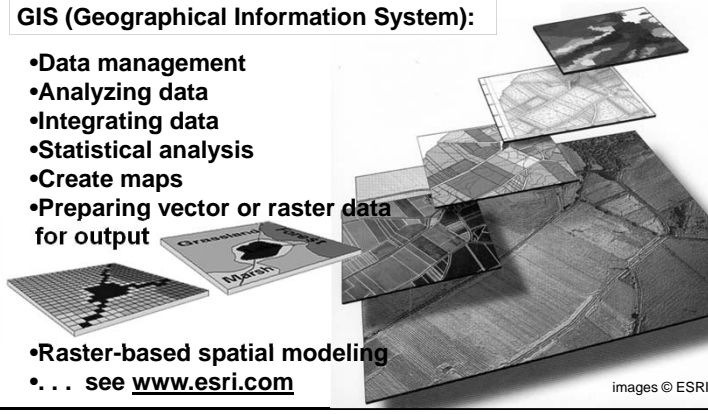




**Daten Analyse und konzeptionelles Modell**

**GIS (Geographical Information System):**

- Data management
- Analyzing data
- Integrating data
- Statistical analysis
- Create maps
- Preparing vector or raster data for output



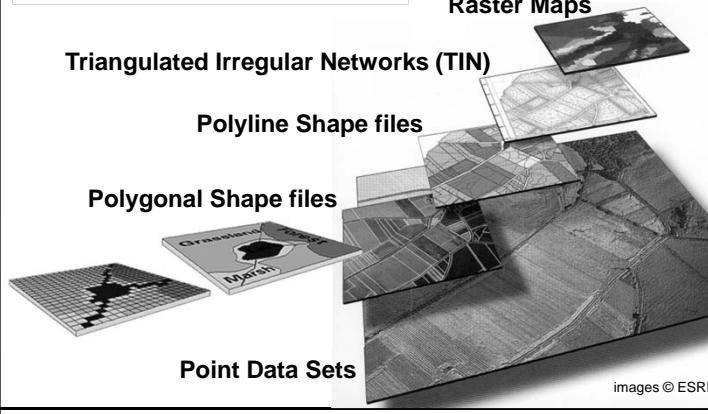
- Raster-based spatial modeling
- ... see [www.esri.com](http://www.esri.com)

images © ESRI

**Daten Analyse und konzeptionelles Modell**

**Common used GIS Output Data:**

- Raster Maps
- Triangulated Irregular Networks (TIN)
- Polyline Shape files
- Polygonal Shape files
- Point Data Sets



images © ESRI

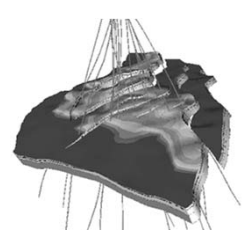
**Daten Analyse und konzeptionelles Modell**

**Geological CAD Software:**

- Petrel (Schlumber)
- goCad
- EarthVision
- OpenGeo

**Spatial Data Output:**

- Points
- Lines
- Polylines / Polygons
- Triangulated Surfaces (Earth Vision, goCad and OpenGEO)
- Structured and Deformed Grids (Petrel)
- Tetrahedra Meshes (goCad)



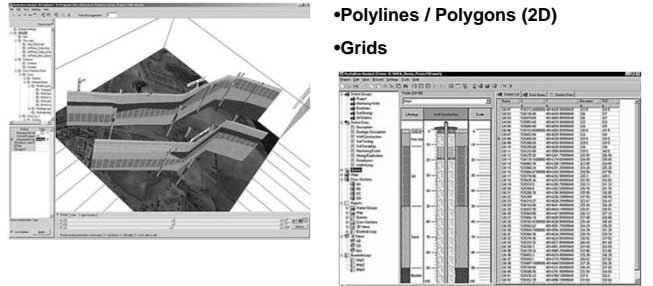
**Daten Analyse und konzeptionelles Modell**

**Hydrogeological Software:**

- HydroGeoAnalyst
- AquiferTestPro
- .....

**Spatial Data Output:**

- Points
- Lines
- Polylines / Polygons (2D)
- Grids



**Daten Analyse und konzeptionelles Modell**

**Designing the Conceptual Model with GIS, CAD or others:**

General Tools of Preprocessing Software:

- Design / Modelling Tools (Shape)
- Project management tools
- Data base administration and import/export of data
- Analysing functions

Design Possibilities depend on the data set and software capabilities, e.g.

- Geometric Methods treating points, lines, polylines, polygons, surfaces (tri, quad), volumes (hex, tet)
- Visualization and analyzing options
- Data Integration and Management
- Mesh Generators e.g. surface reconstruction

**Daten Analyse und konzeptionelles Modell**

**Designing the Conceptual Model with GIS, CAD or others:**

Problems for numerical simulation models:

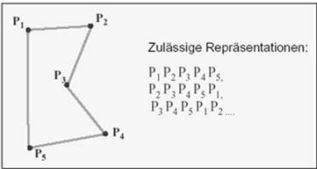
- limited appropriate geometric tools for the specific applications / data sets
- Surfaces reconstruction and meshing tools don't care about element quality of the mesh because a detailed and "more realistic" reconstruction is preferred.
- Manifold data formats, which allows poor defined geometry

**Typische Probleme bei der Erstellung des Konzeptmodells**

**The Data Input:**

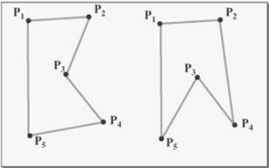
**Principle of completeness**  
**Principle of uniqueness**

**Definition by points and order:**



Zulässige Repräsentationen:  
 $P_1 P_2 P_3 P_4 P_5$   
 $P_2 P_3 P_4 P_5 P_1$   
 $P_3 P_4 P_5 P_1 P_2$

**Definition by only points:**

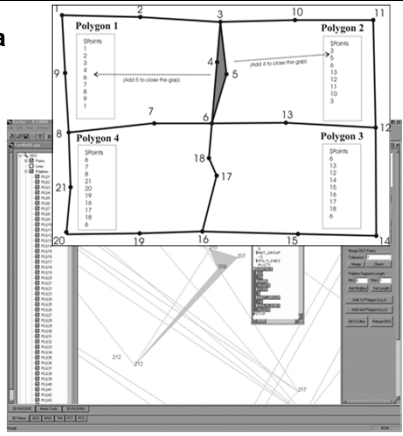


**not complete**

**Not Unique if we consider only the order of points**  
**Unique if we consider the beginning/end and order of points**

**Typische Probleme bei der Erstellung des Konzeptmodells**

**Cleaning of designed data**



**Structural Problems:**

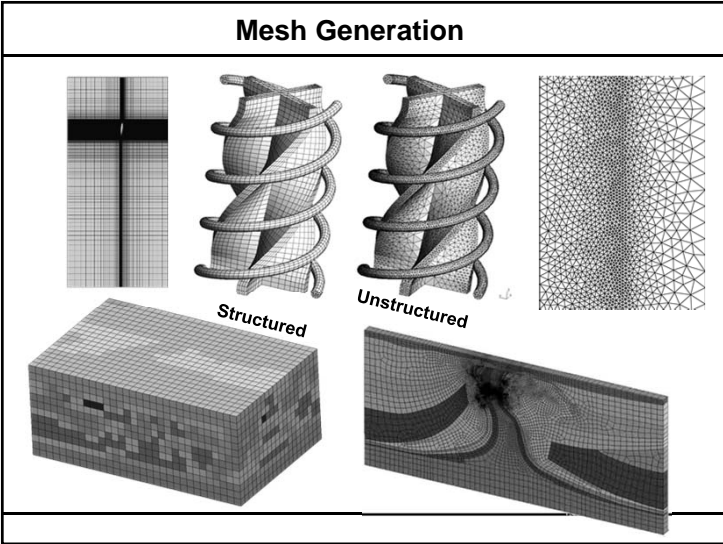
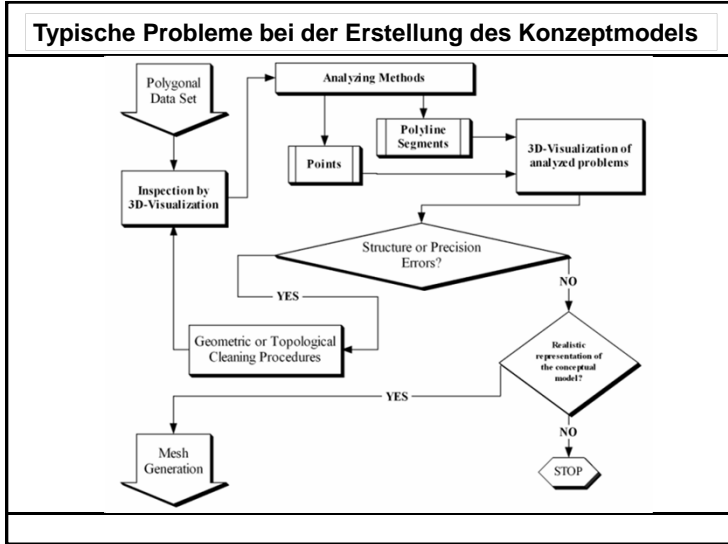
- loop orientation inconsistencies
- missing geometry (e.g. gaps in polylines and gaps between polylines or surfaces)
- undefined self intersecting geometry

**Precision Requirements:**

- gives the minimum segment lengths of polylines → mesh density distribution and mesh size

**Realism Errors:**

- "not manufacturable" due to structural limitations → require further simplifications and abstractions (e.g. sliver faces, acute angles)



### Mesh Generation

#### Coarse Mesh / Fine Mesh

Mesh density distribution must consider:

- Geometry of model boundaries
- Material property distribution
- Gradients and Gradient changes

Fig. 113 Coarse and fine mesh method:  
(a) coarse mesh, (b) fine mesh

Fig. 114 Comparison of numerical and exact total head values on the upstream side of the sheet pile wall: 1 - analytical solution, 2 - coarse mesh, 3 - fine mesh

I.Kazda: Finite Element Techniques in Groundwater Flow Studies

### Mesh Generation

#### Coarse Mesh / Fine Mesh

The element size in transport models can be approximated with the

- Grid Peclet Criteria (advective-dispersive transport , steady state)
- Courant Criteria (advective transport)
- Neumann (advective-dispersive transport, transient state)

Concerning accuracy and stability, three dimensionless numbers and three related criteria are relevant:

Grid-Péclet number/criterion :  $Pe = \frac{v \cdot \Delta x}{D} \leq 2$  (24)

Courant number/criterion :  $Cou = \frac{v \cdot \Delta t}{\Delta x} \leq 1$  (25)

Neumann number/criterion :  $Neu = \frac{D \cdot \Delta t}{\Delta x^2} \leq \frac{1}{2}$  (26)

*Not fulfilled criteria: the Galerkin finite element solution usually exhibits numerical spatial oscillations - overshoot and undershoot - near the concentration (temperature) front*

*D = dispersion coefficient ,  $\Delta x$  = grid cell length in flow direction, v = velocity,  $\Delta t$  = time step length*

### Unstructured Meshes

#### Analyzing Element Quality


**Only geometric criteria:**

- Length criteria:** ratio of the shortest edge to the longest edge.
- Angle criteria:** ratio of the smallest angle to the largest angle.
- Area criteria:** compares the area with the length of the edges. **Volume criteria:** compares the volume with the triangle areas of the tetrahedra.
- Number of elements at one node.** Best for triangles is 6. Best for tetrahedra 24-48

Triangles


$$q_{length} = \frac{\min(|\vec{e}_1|, |\vec{e}_2|, |\vec{e}_3|)}{\max(|\vec{e}_1|, |\vec{e}_2|, |\vec{e}_3|)}$$

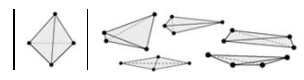
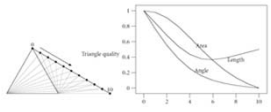
$$q_{angle} = \frac{\min(\alpha, \beta, \gamma)}{\max(\alpha, \beta, \gamma)}$$

$$q_{area} = \frac{4\sqrt{3}A}{|\vec{e}_1|^2 + |\vec{e}_2|^2 + |\vec{e}_3|^2}$$


Tetrahedra

$$q = f \frac{V^2}{(A+B+C+D)^3}$$

$$f = 24\sqrt{3}$$


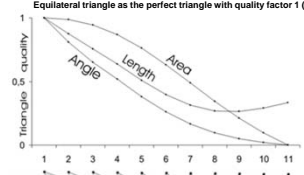



Okayama, 07.12.2006

### Unstructured Meshes

#### Mesh Generation: Analyzing Element Quality

Equilateral triangle as the perfect triangle with quality factor 1 (one)




$$q_{length} = \frac{\min(|\vec{e}_1|, |\vec{e}_2|, |\vec{e}_3|)}{\max(|\vec{e}_1|, |\vec{e}_2|, |\vec{e}_3|)}$$

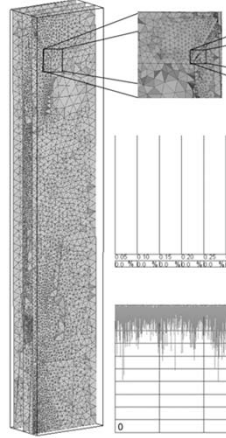
$$q_{angle} = \frac{\min(\alpha, \beta, \gamma)}{\max(\alpha, \beta, \gamma)}$$

$$q_{area} = \frac{4\sqrt{3}A}{|\vec{e}_1|^2 + |\vec{e}_2|^2 + |\vec{e}_3|^2}$$

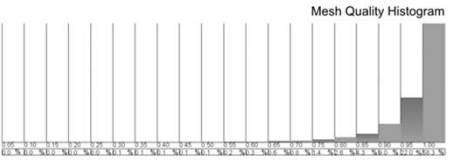
Kalbacher et al., 2006



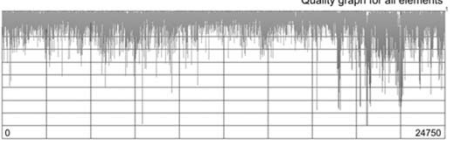
### Unstructured Meshes



Area Criterion



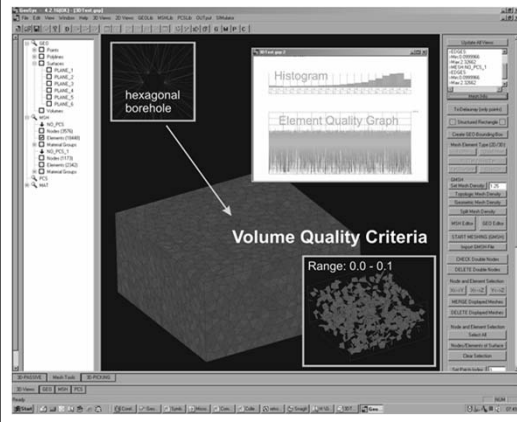
Mesh Quality Histogram



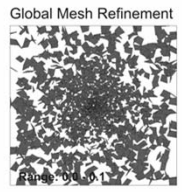
Quality graph for all elements

24750

### Unstructured Meshes




Global Mesh Refinement



Range: 0.0 - 0.1

Volume Quality Criteria



Range: 0.0 - 0.1

**Materialeigenschaften, Anfangs- und Randbedingungen**

**Spatial Property and Parameter Assignments:**

**How to bring data to the FE-Mesh?**

- Depends on the modelling software
- using input devices, snap-functions, e.g. Feflow
- assigning parameters by the use of basic geometric information (points, polylines, surfaces, volumes) and (half-)automatic, i.e. GeoSys/RockFlow

**Layered models**

**Zwischenfazit**

Input Daten analysieren

- Voraussetzungen: Prozessabläufe verstehen und die Zusammenhänge kennen
- Limits: Softwaretools und Prozessverständnis

Konzeptmodell:

- Wo sind meine wichtigen Modelränder (BC, IC, MAT)
- Komplexität vs. Vereinfachungen bzw.
- Performance vs. Detailliertheit
- Inputmöglichkeiten des Netzgenerators und Simulationswerkzeugs

Geometrisches Model (Netz): Netzdichte bzw. Verfeinerungen sind abhängig von

- geometrischen Detailinformationen
- numerischen Ansprüchen des zu lösenden Prozesses (NUM)
- Gradienten im Ergebnis

**Zwischenfazit**

**MODELLE VON HYDROSYSTEMEN SIND IMMER EINE VEREINFACHTE DARSTELLUNG DER REALEN UND NATÜRLICHEN PROZESSE !**

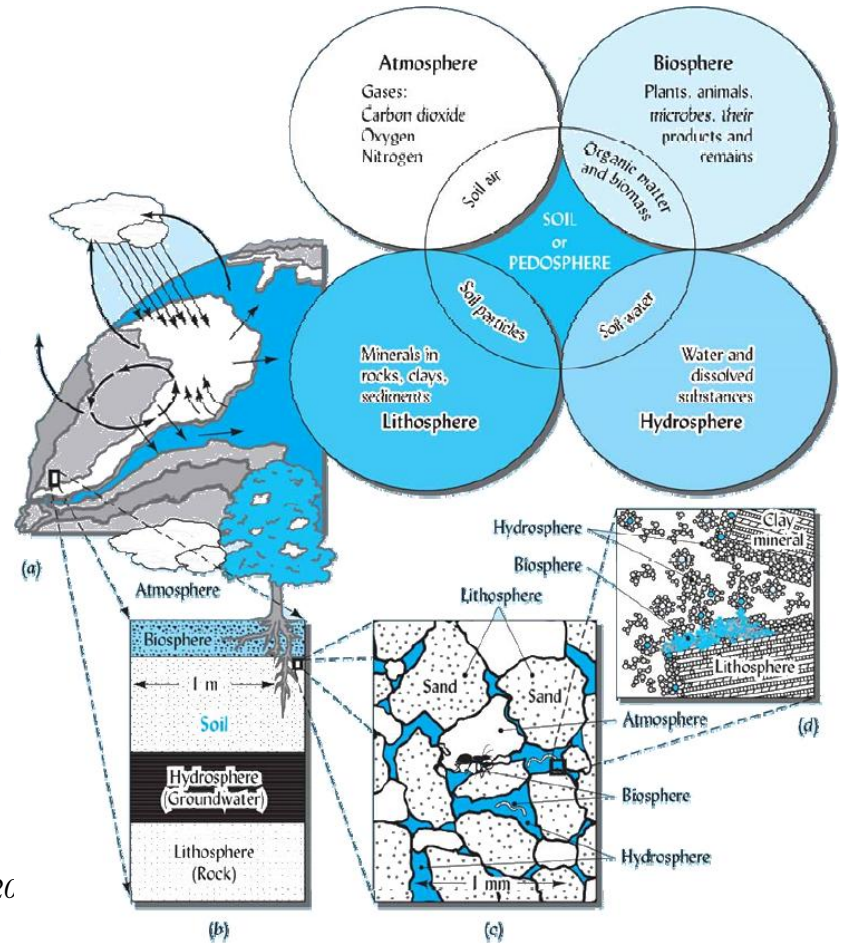
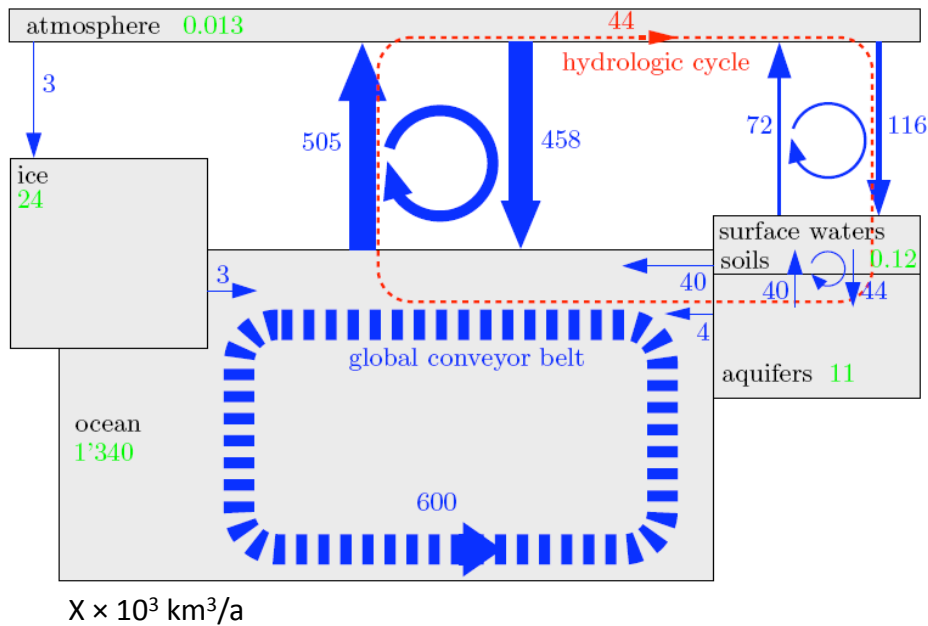
Vereinfachungen von:

- Konzept
- Geometrie
- Ränder
- Materialverteilungen
- Mathematische Beschreibung
- Numerisches Verfahren

z.B. durch Messmethodik, Messpunktverteilung, Ansätze, Annahmen oder Interpolationen)

**Wichtig daher ist:  
Ein Grundlegendes Systemverständnis  
und Modelverständnis**

# Wasserkreislauf und die Rolle des Bodens



Roth K. 20

Open Scripts (PDF):

Soil Physics Lecture Notes, Kurt Roth Institute of Environmental Physics, University of Heidelberg (340 S.)

[http://www.iup.uni-heidelberg.de/institut/forschung/groups/ts/soil\\_physics/students/lecture\\_notes05/sp-v2.2.pdf](http://www.iup.uni-heidelberg.de/institut/forschung/groups/ts/soil_physics/students/lecture_notes05/sp-v2.2.pdf)

Physik der Ungesättigten Zone, Hannes Flüher, ETH Zürich und Kurt Roth, Universität Heidelberg.

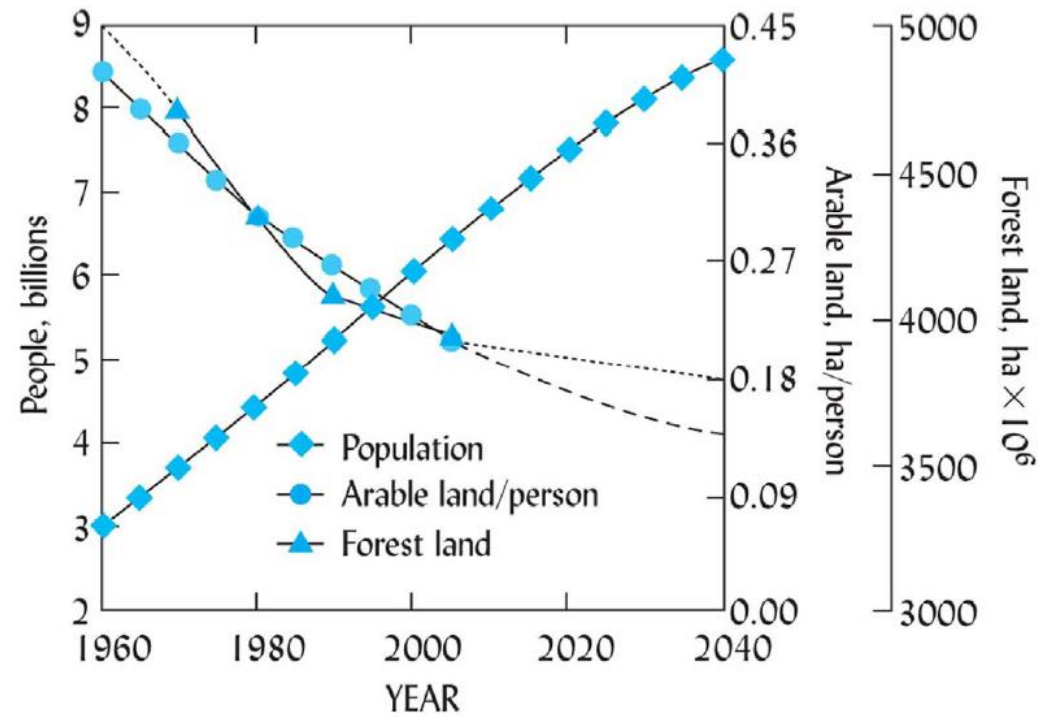
[http://www.iup.uni-heidelberg.de/institut/forschung/groups/ts/soil\\_physics/students/Physik\\_der\\_ungesaettigten\\_Zone.pdf](http://www.iup.uni-heidelberg.de/institut/forschung/groups/ts/soil_physics/students/Physik_der_ungesaettigten_Zone.pdf)



Soils were Critical to Human History, e.g.

- Early civilizations developed in river valleys with rich, fertile soil
- Collapse of many civilizations is often connected to soil degradation, salinization and erosion

→ **Management Strategies**



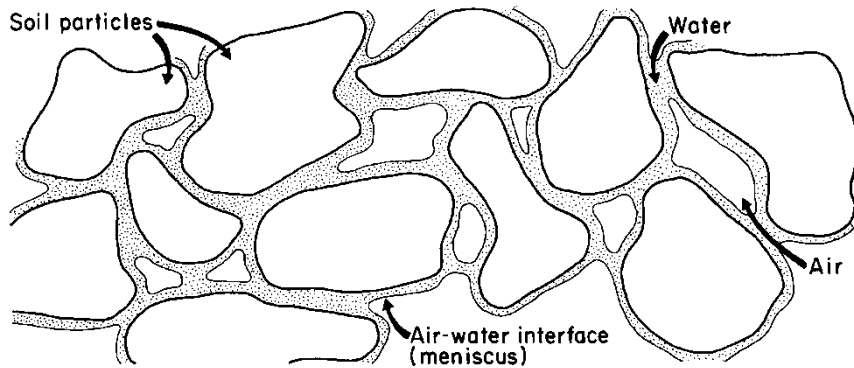
Reservoir	% of Water		Residence Time
	Global	Fresh	
Salt Water	97.5	.	2,643 years
Glaciers	1.75	68.7	12,000 years
Ground Water	0.79	30.9	5,400 years
Surface Water	0.008	0.3	2.26 years
Soil Water	0.0012	0.05	7 weeks
Atmosphere	0.0009	0.04	9 days
Plants	0.00008	0.003	5 days

product [kg]	water consumption [kg]
potatoes	160
maize	450
wheat	1'200
rice	2'700
poultry	2'800
pork	6'000
beef	16'000

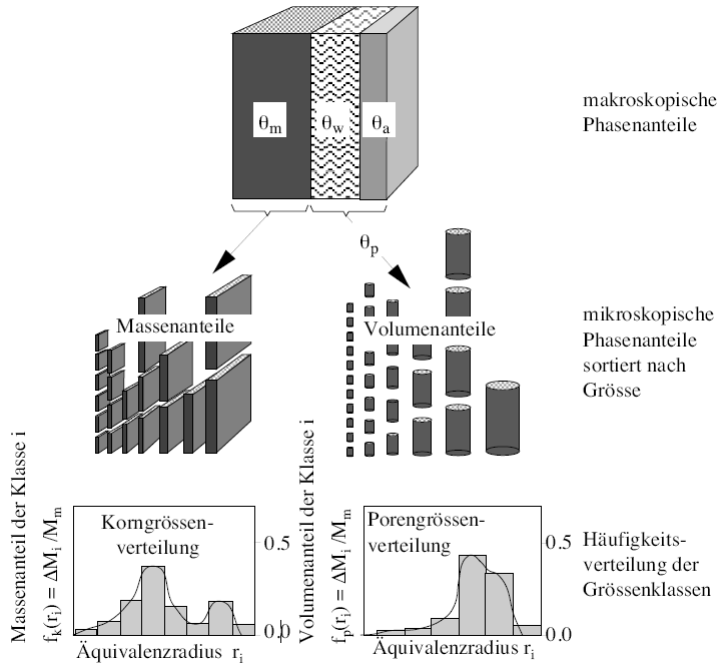
Quellen: unsicher

## Die drei Phasen des Bodens

Soils = Air + Water + Solids



## Mikroskopischer Phasenbestandteile



## Makroskopische Volumen-, Massen- und Phasenanteile

Phase(n)	Zustandsgrösse	volumetrisch <sup>†</sup>	gravimetrisch <sup>†</sup>
Wasser	Wassergehalt	$\theta_w = V_w/V$	$\theta_w^m = M_w/M_m$
	Wassersättigungsgrad	$\Theta_w = V_w/V_p$	—
Luft	Luftgehalt	$\theta_a = V_a/V$	—
	Luftsättigungsgrad	$\Theta_a = V_a/V_p$	—
Porenraum	Porosität	$\theta_p = V_p/V$	—
	Porenziffer	$n = V_p/V_m$	—
Festsubstanz	Matrixanteil	$\theta_{matrix} = V_m/V$	$M_m/M_m = 1.0$
	Lagerungsdichte	$\rho_b = M_m/V$	—
	reelle Dichte, Dichte der Festsubstanz	$\rho_m = M_m/V_m$	—

$M = \text{Masse}$   
 $V = \text{Volumen}$

$m = \text{Matrix}$   
 $w = \text{Wasser}$   
 $a = \text{Luft}$

$p = \text{Porenraum}$   
 $b = \text{Boden}$

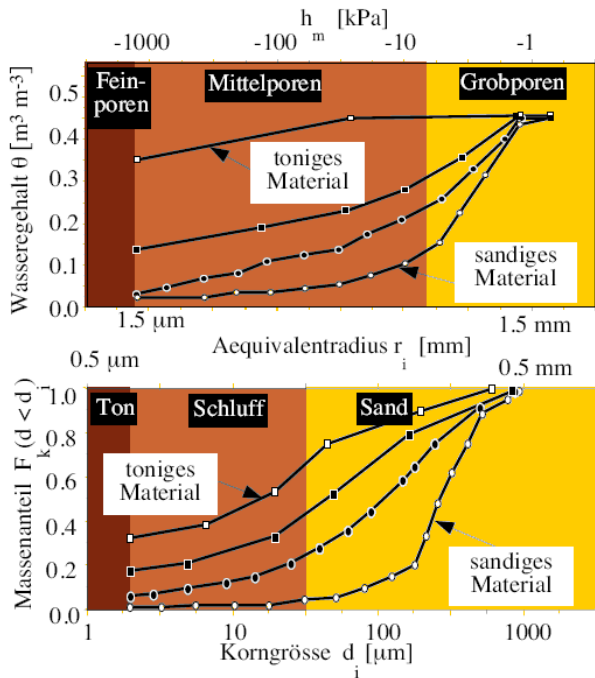
Abbildungen aus Hannes Fühler, Physik der ungesättigten Zone, 2004

$$\Delta f_k(r_i) = \frac{\Delta M_i}{M_m} \quad \text{mit} \quad M_m = \sum_i^n \Delta M_i$$

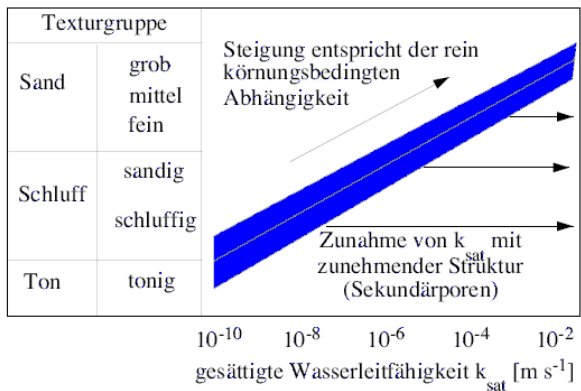
$$F_k(r_i) = \frac{1}{M_m} \int_0^{M(r_i)} dM = \int_0^{r_i} f_k(r) dr$$

$$\Delta f_p(r_i) = \frac{\Delta V_i}{V_p} \quad \text{mit} \quad V_p = \sum_i^n \Delta V_i$$

$$F_p(r_i) = \frac{1}{V_p} \int_0^{V(r_i)} dV = \int_0^{r_i} f_p(r) dr$$



Korngrößenverteilung und Bodenwassercharakteristik (pF-Kurve) von unstrukturierten Böden (umgezeichnet aus Hartge [1978])



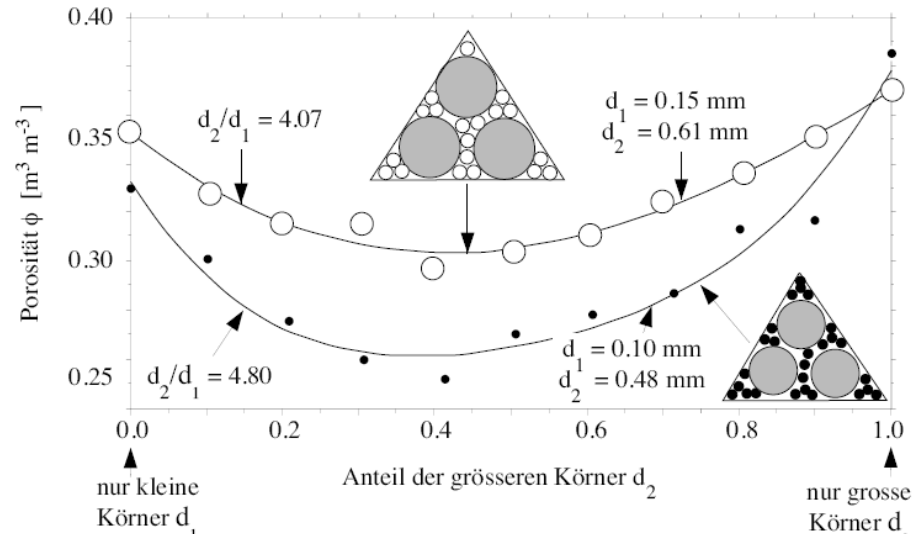
Zusammenhang zwischen Wasserleitfähigkeit bei Wassersättigung und Textur (umgezeichnet aus Hartge [1978]).

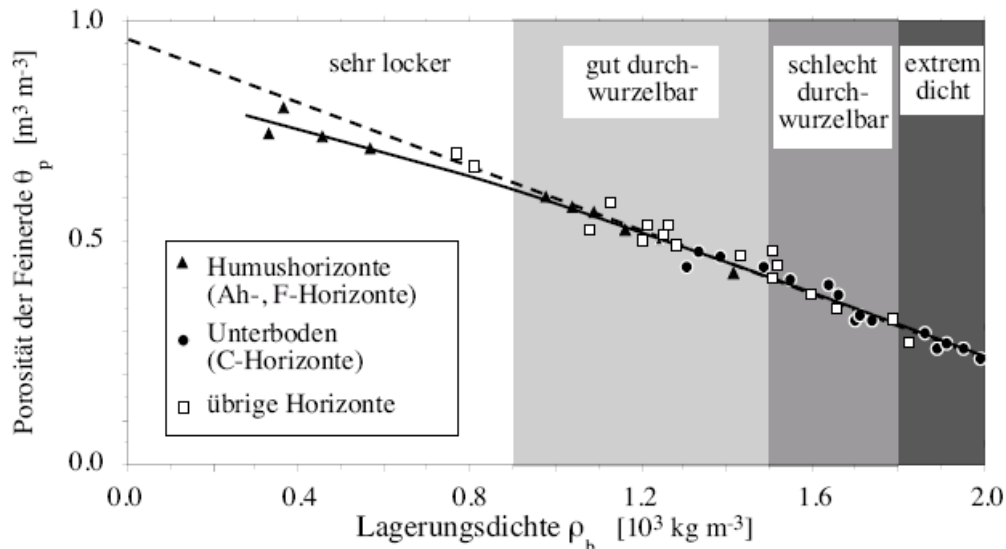
### Porosität:

$$\theta_p = V_p/V$$

<i>räumliche Vorstellung einer Pore</i>	Kanäle, Röhren, Gänge, Kapillaren, Spaltflächen, Risse.
<i>physikalische Definition einer Pore</i>	Porenraumanteil, der durch einen bestimmten Unterdruck entwässert werden kann (operationeller Äquivalenzbegriff).
<i>Intraaggregatbereich</i>	Porenraum innerhalb der feinporigen Bereiche (z.B. Bodenkrümel). Entspricht den Zonen mit teilweise "immobilen" Wasser.
<i>Interaggregatbereich</i>	Porenraum zwischen den feinporigen Bereichen. Entspricht den Zonen mit relativ "mobilem" Wasser.

Abhängig von: der *Form* der Partikel, der *Korngrößenabstufung* und der *Lagerung* → bei gegebener Körnung und Kornform vom Grad der Verdichtung ab

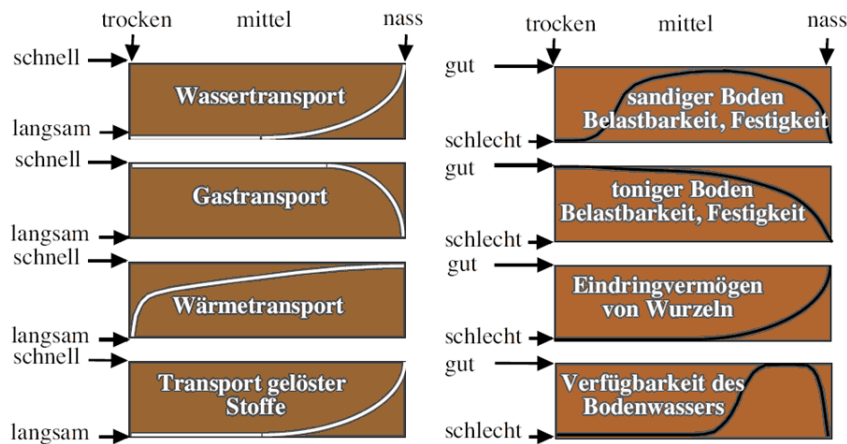




Steigung der Funktion =  $1/\rho_m$  mit  $\rho_m = 2.72 \times 10^3 \text{ kg m}^{-3}$

kleine Porosität	grosse Porosität	Ursache
rundlich (Sand)	sperrig, faserig (Tonplättchen)	Kornform
abgestufte Körnung (verwittert)	einseitige Körnung (sortiert, gewaschen)	Korngrößenabstufung
verdichtet, gerüttelt, ausgerichtet	locker, frisch geschüttet	Lagerung

### Wassergehalt und Bodeneigenschaften



$$\theta_p = \frac{V_p}{V} = \frac{V - V_m}{V} = 1 - \frac{V_m}{V} = 1 - \frac{V_m}{M_m} \frac{M_m}{V} = 1 - \frac{\rho_b}{\rho_m}$$

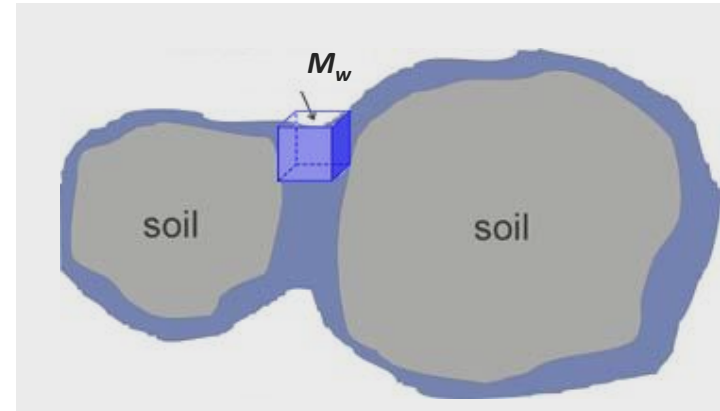
## Der Energieinhalt $G_w$ eines Massenelementes $M_w$

$$G_w = \underbrace{M_w g h_g}_{\text{Lageenergie}} + \underbrace{V_w p_b}_{\text{Druckenergie}} + \underbrace{N_\pi \mu_\pi}_{\text{osmotische Energie}} \quad [\text{J}]$$

Lageenergie      Druckenergie      osmotische Energie

**Osmotische Energie:** Die Größe  $\mu_\pi$  bezeichnet die Änderung der freien Energie  $G_w$  infolge Zugabe oder Entnahme einer Menge von  $N_\pi$  Molen gelöster, osmotisch wirkender Stoffe.

**Lageenergie:** Die betrachtete Menge Bodenwasser der Masse  $M_w$  auf einer bestimmten Höhe  $h_g$  im Gravitationsfeld der Erde.



$$h_g = \frac{G_w}{M_w g} \quad [m] = \frac{J}{kg \frac{m}{s^2}} = \frac{kg \frac{m^2}{s^2}}{kg \frac{m}{s^2}} \quad \psi_g = \frac{G_g}{M_w} = ghg \quad p_g = \frac{G_g}{V_w} = \rho_g gh_g$$

Der Druck im betrachteten Wasserelement mit dem Volumen  $V_w$  beträgt  $p_b$ . Dieser ist das Ergebnis einer ganzen Reihe verschiedener Druckkomponenten, aber ohne Einbezug des osmotischen Anteils und der Lageenergie.

$$\text{Druckpotential} \quad \psi_b = \frac{G_w}{M_w} = \frac{p_b}{\rho_w} \quad p_b = \frac{G_w}{V_w} \quad \rho_w = \frac{M_w}{V_w}$$

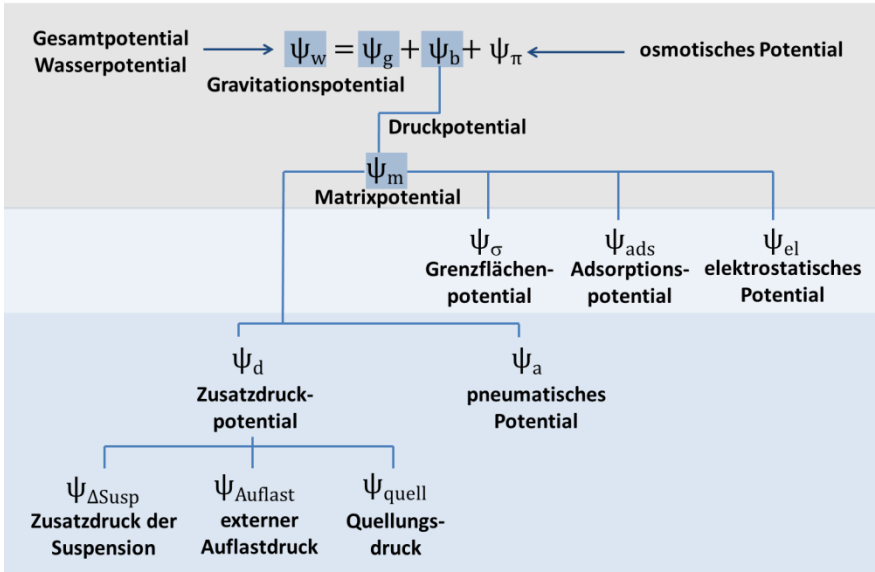
Beziehen wir die Energiemenge  $G_w$  auf die Masse  $M_w$ , dann erhalten wir die *massenbezogene Energiedichte*  $\psi_w$

$$\psi_w = \frac{G_w}{M_w} = \psi_g + \psi_b \quad \frac{J}{kg}$$

$$\text{Gravitationspotential} \quad \psi_g = ghg \quad M_w gh_g = G_w$$

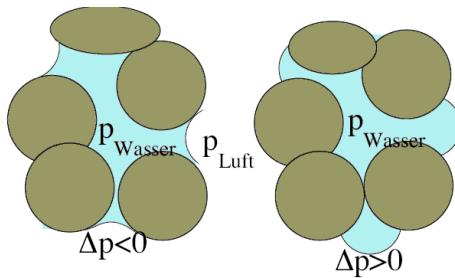
$$\text{Druckpotential} \quad \psi_b = \frac{p_b}{\rho_w} \quad \rho_w = \frac{M_w}{V_w} \quad V_w p_b = G_w$$

# Die Komponenten des Bodenwasserpotentials



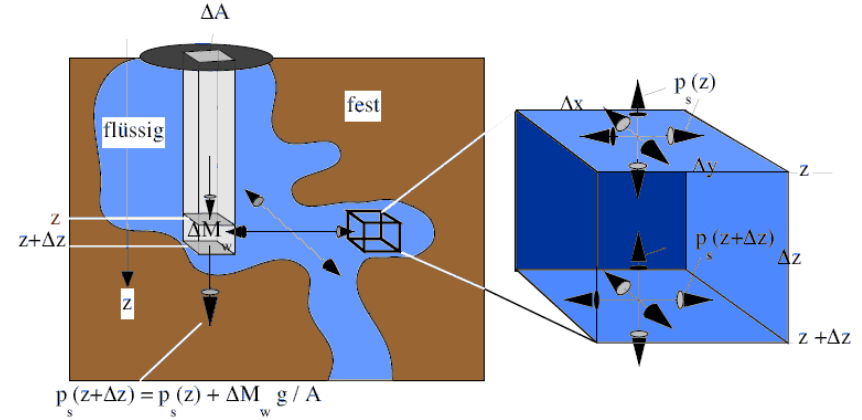
Im **Matrixpotential**  $\psi_m$  sind jene Energiekomponenten enthalten, welche die Druckdifferenz zwischen dem Bodenwasser,  $p_{\text{Wasser}}$  und der Bodenluft  $p_{\text{Luft}}$  beeinflussen, sowie alle externen Druck- bzw. Potentialfelder, die auf den betrachteten Bodenausschnitt einwirken.

$$\psi_b = \frac{1}{\rho_w} [p_{\text{Wasser}} - p_{\text{atm}}]$$



Bei der Entwässerung des Bodens bilden sich Luft-Wasser-Grenzflächen. Ihre Krümmung ist ein Maß für die Druckdifferenz zwischen den beiden Phasen

## Hydrostatisches Potential $\psi_s$



Das hydrostatische Potential  $\psi_s$  kommt durch das Gewicht der hydraulisch mit dem betrachteten Element verbundenen Wassersäule zustande.

$$\psi_s = p_s / \rho_w = gh_s$$

$h_s$  = vertikale Distanz zum darüber liegenden Wasserspiegel

Im hydrostatischen Gleichgewicht heben sich alle Druckkräfte an jedem Punkt innerhalb der flüssigen Phase auf.

Eigengewichtes des Volumenelementes

→ vertikale hydrostatische Auflast

→ Druckdifferenz über die Distanz  $\Delta z$

$$\Delta p_s = \rho_w g \Delta z$$

Hydrostatischer Druckgradient

$$\frac{d}{dz} p_s = \rho_w g$$

## Kapillarität

Krümmungsradius an der Grenzfläche zwischen Wasser und Luft ist als Folge des mechanischen Gleichgewichts abhängig von der Druckdifferenz  $\Delta p = p_a - p_w$

$$F^\downarrow = -M_w g = -\rho_w \pi r^2 h_m g$$

$$F^\uparrow = 2\pi r \sigma_{wa} \cos \gamma$$

$$\text{Gleichgewicht: } F^\downarrow = F^\uparrow$$

$$-\rho_w \pi r^2 h_m g = 2\pi r \sigma_{wa} \cos \gamma$$

$$h_m = -\frac{2\sigma_{wa} \cos \gamma}{\rho_w r g} \quad \text{Kapillaritätsgesetz}$$

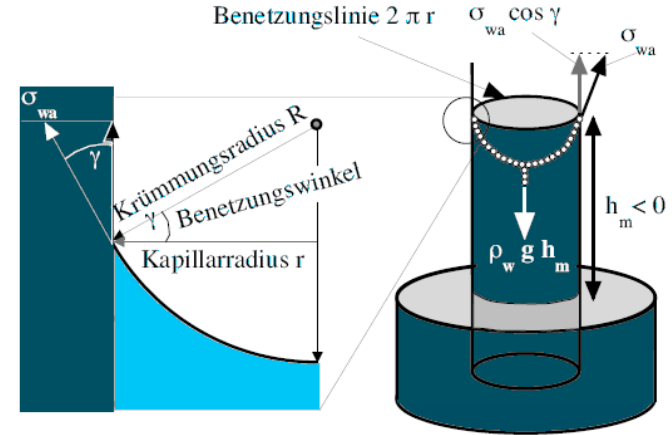
Soil Science: Zusammenfassung von Konstanten.  $h_m = -\frac{0.015}{r} [\text{m}]$

$$\Delta p = \rho_w h_m g = \psi_m \rho_w \quad \text{Kapillardruck} \quad \Delta p = -\frac{2\sigma_{wa} \cos \gamma}{r}$$

$$\psi_m = -\frac{2\sigma_{wa} \cos \gamma}{\rho_w r}$$

$$M_w = V_w \rho_w \text{ und } V_{\text{Zylinder}} = \pi r^2 h_m$$

Benetzter Rand  $2\pi r$   
 Oberflächenspannung  $\sigma_{wa}$   
 Benetzungswinkel  $\gamma$   
 Kapillare Steighöhe  $h_m$



feste Phase	flüssige Phase	Benetzungswinkel $\gamma$ (Grad)
Glas	Wasser	$\approx 0$
Quarz	Wasser	$\approx 0$
Glas	Quecksilber	$\approx 140$
Stahl	Wasser	$\approx 90$
trockene Ah-Horizonte in		
- Schwarzerden	Wasser	30-50
- Podsol	Wasser	80-85
- trockener Torf	Wasser	150

## Anmerkungen zum Matrixpotential $\psi_m$

$\psi_m$  ändert sich, wenn die Phasengrenzflächen verändert werden, z.B. Wassergehaltsänderung.

Keine benetzende Phase (Gas): Matrixpotential nicht definiert.

Änderung der Oberflächenenergie des Wassers

z.B. durch Erwärmung *reduziert die Anziehungskräfte im Innern der Flüssigkeit und somit die Oberflächenenergie Wasser-Luft.*

Stoffaustausch mit der Umgebung *verändert die Konzentration der im Wasser gelösten Teilchen, welche ihrerseits die Oberflächenenergie und Benetzungseigenschaften der festen Oberflächen senken oder erhöhen können.*

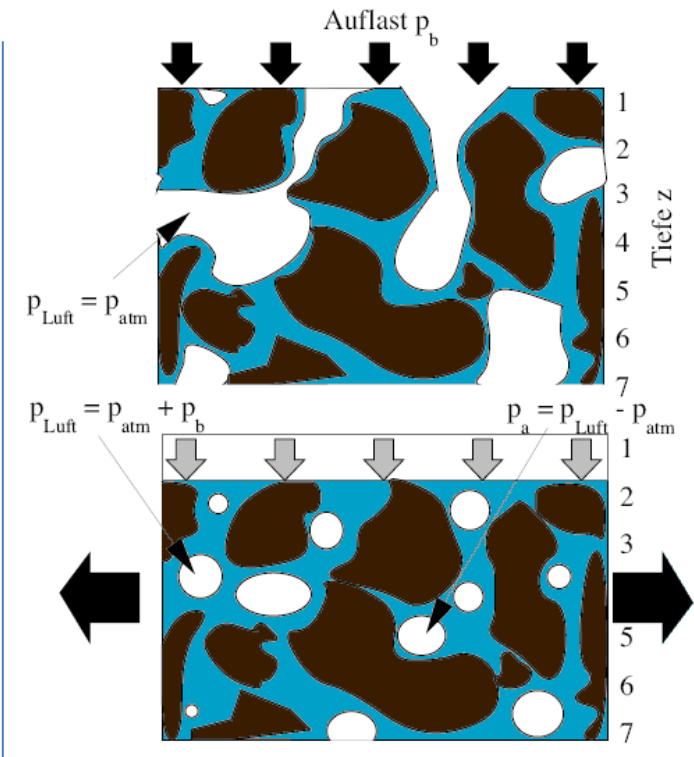
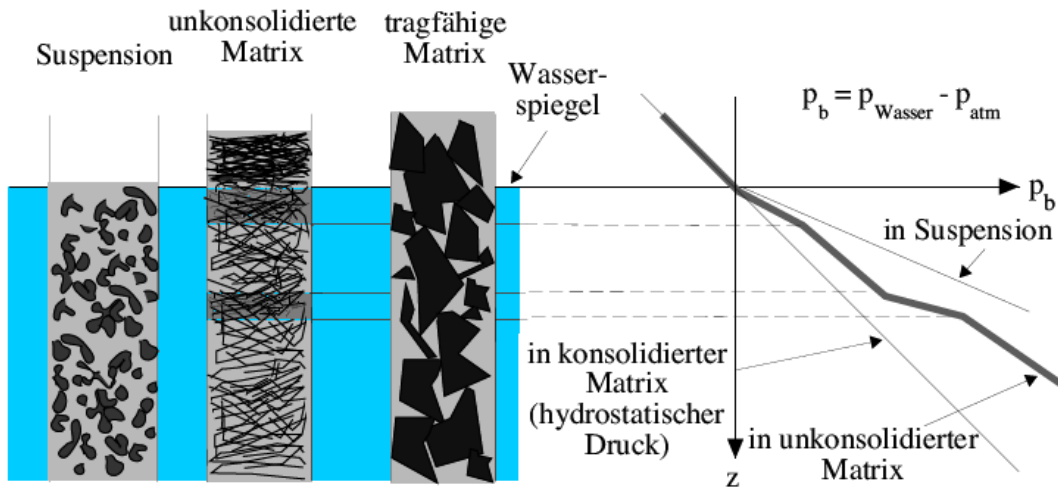
Gelöste Stoffe verändern das elektrische Potential in der Nähe der festen Grenzflächen und beeinflussen damit die Anordnung der drei Phasen in ungesättigten Systemen

## Pneumatisches Potential $\psi_a$

Das pneumatische Potential  $\psi_a$  (a = "air") entspricht der Druckdifferenz zwischen der Bodenluft und der freien Atmosphäre. Pneumatische Effekte entstehen im Boden in der Regel nur dann, wenn die Gasphase diskontinuierlich ist oder durch plötzliche Luftdruckänderungen in der freien Atmosphäre komprimiert wird.

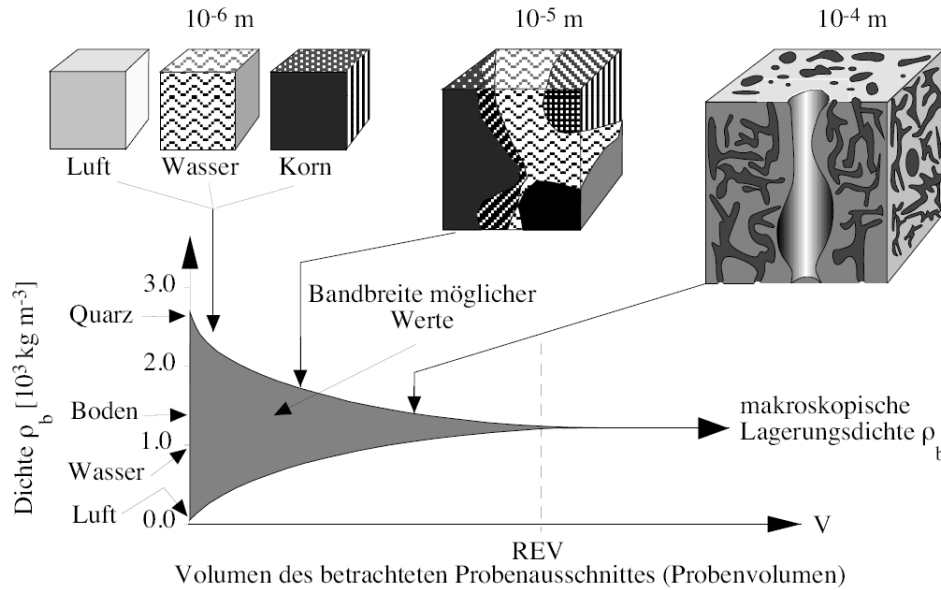
## Zusatzdruckpotential $\psi_d$

Das Zusatzdruckpotential  $\psi_d$  beschreibt jene Druckkomponente, die durch verschiedene Zusatzbelastungen zustande kommt und durch die Bodenmatrix nicht abgestützt wird:  $\psi_d = \psi_{\Delta \text{Susp}} + \psi_{\text{Auflast}} + \psi_{\text{quell}}$





Das Mittelungsvolumen, bei welchem die kleinräumige Variabilität im Vergleich zur verbleibenden grobskaligen Variabilität verschwindet, nennt man das **Repräsentative Elementarvolumen REV** Hubbert [1956] ; Bear[1972a]



### Anmerkungen zum REV

**REV ist allgemeingültig** (Remote Sensing, GW&Transp.-Modellierung)

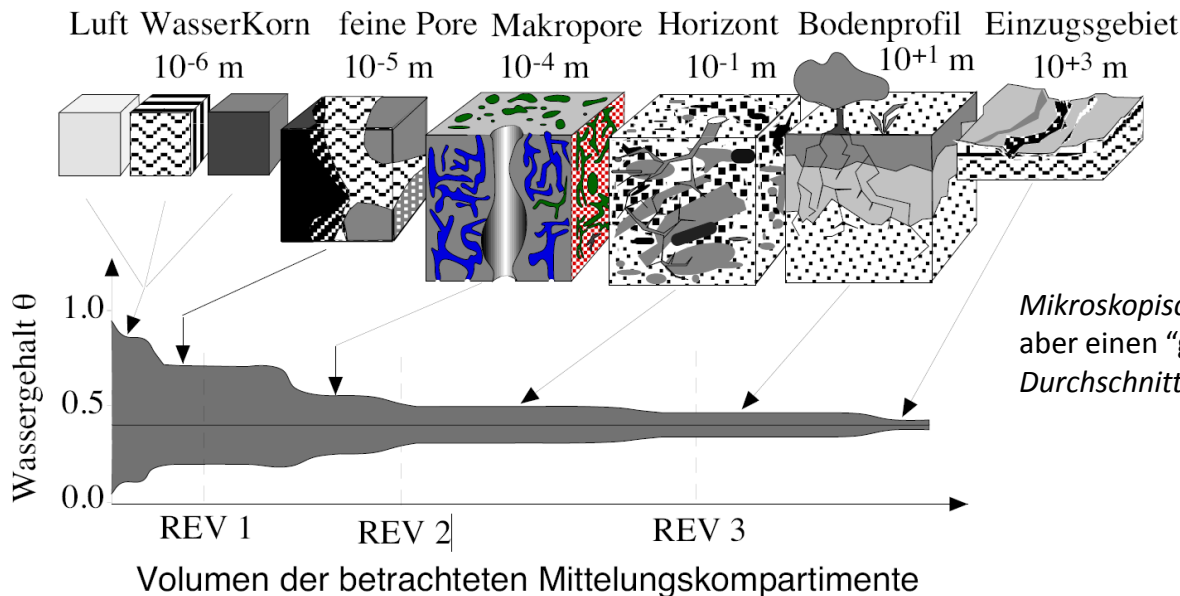
Gehalte wie  $\theta_w$ ,  $\theta_a$ ,  $\theta_{matrix}$  oder Fließgeschwindigkeiten sind

- intensive Variablen, d.h. nicht von der betrachteten Kompartimentgröße abhängig, sondern dem Mittelpunkt des Bezugselementes ( $V$  bzw.  $M_m$ ) zugeordnet,
- Durchschnittsangaben, zur Charakterisierung eines Bodenkompimentes.

→ angepasstes REV, innerhalb welchem sich alle wichtigen Strukturelemente genügend oft wiederholen

Die Begriffe **homogen** und **heterogen** hängen ab von

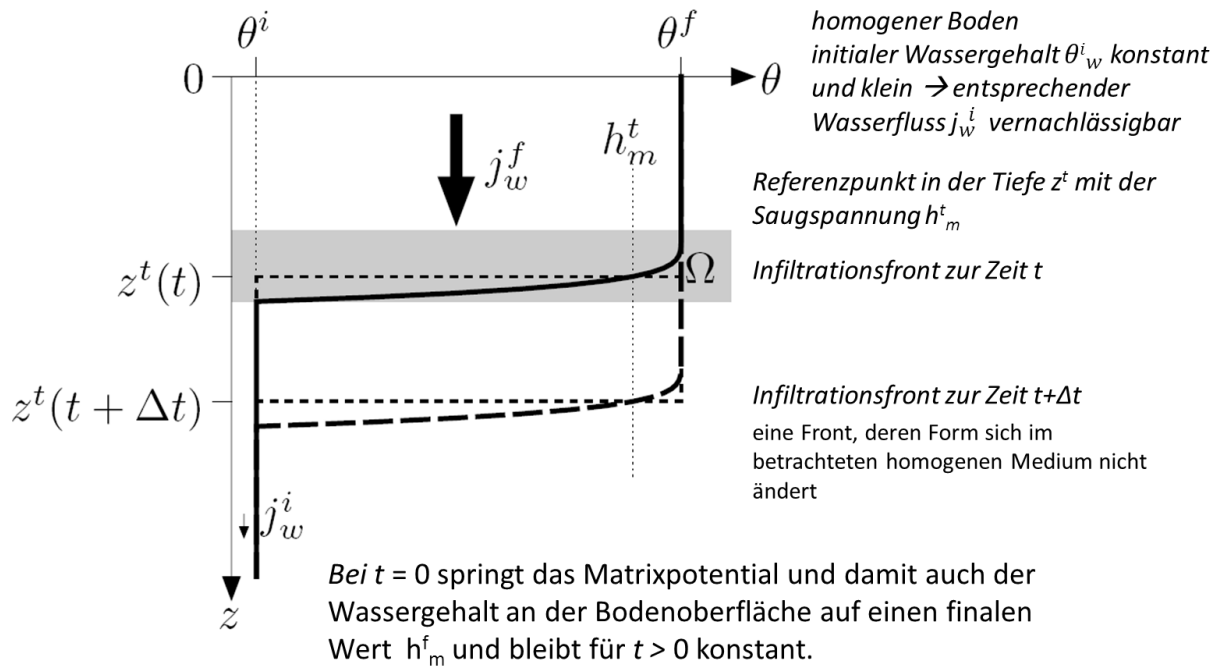
- der Messgröße,
- der Ausdehnung des betrachteten Systems
- Struktur des betrachteten Systems
- dem Mittelungsvolumen, über das die betrachtete Eigenschaft gemittelt wird, abhängen.



*Mikroskopisch* gesehen ist der Boden nie homogen! Wählen wir aber einen "genügend" großen Ausschnitt dann ist er "*im Durchschnitt homogen*".

## Green-Ampt-Infiltrationsmodell

Aufgrund der Nichtlinearität der hydraulischen Materialeigenschaften ist die Infiltrationsfront das dominierende Ereignis bei transientser Wasserströmung.



Für die Beschreibung der Front wählen wir einen Referenzpunkt, dessen Tiefe wir mit  $z^t$  bezeichnen. Die Saugspannung an diesem Punkt sei  $h_m^t$ . Form der Front ist zeitinvariant. Kurve verschiebt sich um  $\Delta z^t$  in die Tiefe mit  $[z^t(t), z^t(t + \Delta t)]$

Wassergehalt steigt:

$$\theta_w^i \Rightarrow \theta_w^f \quad \Delta\theta_w = \theta_w^f - \theta_w^i > 0$$

Wasserfluss:

$$j_w^f = \Delta\theta_w \lim_{\Delta t \rightarrow 0} \left( \frac{z^t(t + \Delta t) - z^t(t)}{\Delta t} \right) = \Delta\theta_w \frac{d}{dt} z^t(t)$$

Darcy: Wasserfluss durch eine Säule ist proportional zur Druckdifferenz dividiert durch die Länge der Säule. Wassergesättigt!

$$j_w^f = -k_{sat} \frac{\partial}{\partial z} h_w$$

Buckingham: erweitertes Flussgesetz der hydraulischen Leitfähigkeitsfunktion  $k(\theta_w)$

→ Buckingham-Darcy Gesetz bzw. *Kozeny-Carman Gleichung*

$$j_w^f = -k(\theta_w^f) \frac{\partial}{\partial z} h_w$$

$$j_w^f = -k(\theta_w^f) \frac{h_w(z^t) - h_w(0)}{z^t} = -k(\theta_w^f) \frac{[h_m^t z^t] - h_{fm}}{z^t}$$

$$j_w^f = -k(\theta_w^f) \left[ \frac{\Delta h_m}{z^t} - 1 \right]$$

mit  $\Delta h_m = h_{tm} - h_{fm} < 0$

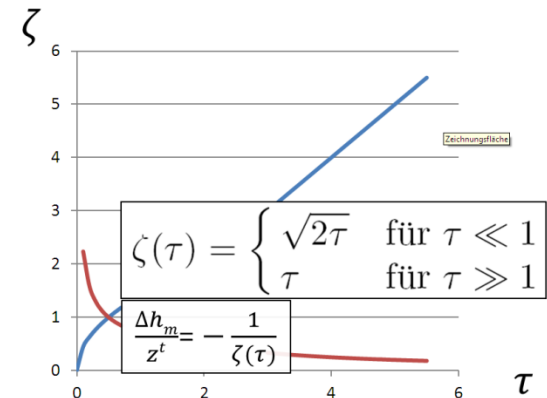
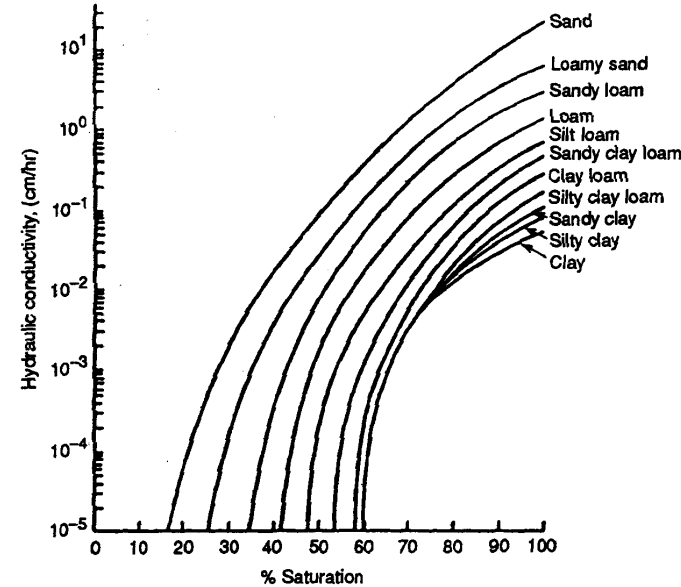
→ Beide Gleichungen beschreiben denselben Fluss

Infiltrationsfront

$$\frac{d}{dt} z^t(t) = - \frac{k(\theta_w^f)}{\Delta\theta_w} \left[ \frac{\Delta h_m}{z^t} - 1 \right]$$

mit  $\zeta = - \frac{z^t}{\Delta h_m}$  und  $\tau = - \frac{k(\theta_w^f)}{\Delta h_m \Delta\theta_w} t$

$$\zeta(\tau) - \log(1 + \zeta(\tau)) = \tau$$



Theoretisches Beispiel: Bodenprobe mit  $\theta_w=0$ , bedeckt von einer Wassersäule mit der Höhe  $d$ .

Betrachtung der vollgesättigten Infiltrationsfront

$$\frac{d}{dt} z^t(t) = -\frac{k(\theta_w^f)}{\Delta\theta_w} \left[ \frac{\Delta h_m}{z^t} - 1 \right]$$

vollgesättigten Infiltrationsfront  $\rightarrow k(\theta_w^f) = K_{sat} = K$

Bei 100% Wassersättigung  $n = \theta_w$  ( $n =$  Porosität)

$$\frac{d}{dt} z^t(t) = -\frac{K}{n} \left[ \frac{\Delta h_m}{z^t} - 1 \right]$$

Anpassung an die Abbildung:

$$\frac{dL}{dt} = \frac{K}{n} \left[ \frac{h_w}{L} \right]$$

$$n \frac{dL}{dt} = K \left[ \frac{h_w}{L} \right]$$

Einfache Integration

$$L = \sqrt{\frac{2 K h_w t}{n}}$$

Damit ergibt sich für die Infiltrationslänge

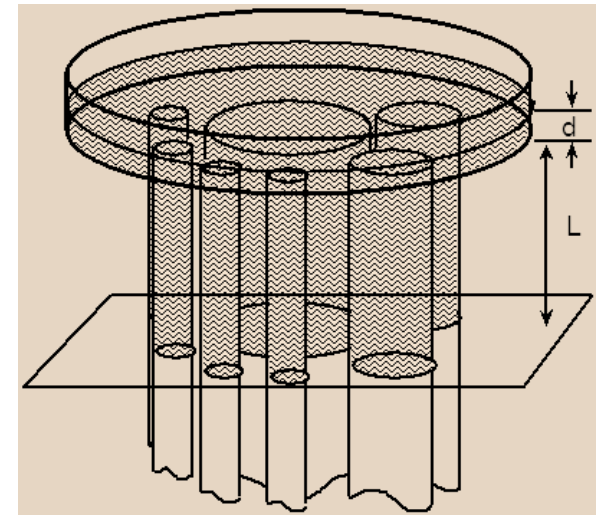
$$L \sim \sqrt{t}$$

Und mit

$$q = \frac{d}{dt} n \sqrt{\frac{2 K h_w t}{n}}$$

$$q = \sqrt{\frac{K h_w n}{2t}}$$

$$q \sim \frac{1}{\sqrt{t}}$$



**Vertikale Strömung**  $d = \text{const}$

$$\frac{d}{dt} nL = K \left[ \frac{h_m + d + L}{L} \right]$$

$$h_w = h_m + h_g \quad h_g = d + L$$

$$h_m = \text{matric head at the wetting front} \quad h = \frac{p}{\rho g}$$

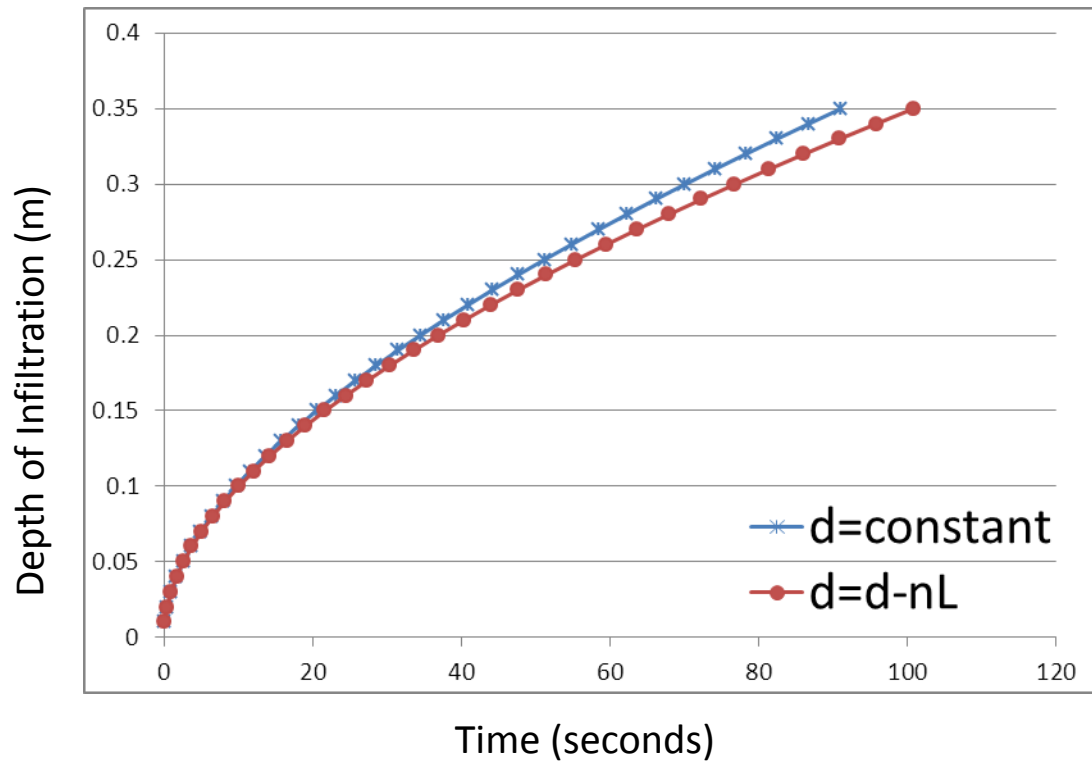
$$dt = \frac{n}{K_{sat}} \left[ 1 - \frac{h_m + d}{h_m + d + L} \right] dL$$

$$t = \frac{n}{K_{sat}} \left[ L - (h_m + d) \ln \left( \frac{h_m + d + L}{h_m + d} \right) \right]$$

**Vertikale Strömung**  $d = d - nL$

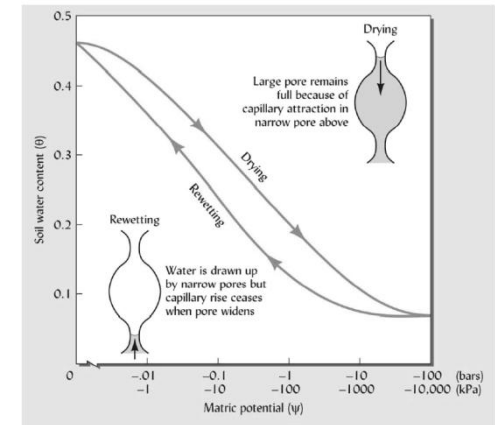
$$\frac{d}{dt} nL = K \left[ \frac{h_m + d - nL + L}{L} \right]$$

$$t = \frac{n}{K_{sat}(1-n)^2} \left[ L(1-n) - (h_m + d) \ln \left( \frac{h_m + d + L(1-n)}{h_m + d} \right) \right]$$

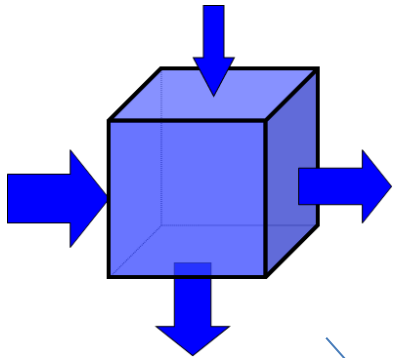


Green and Ampt model predictions for infiltration in a soil with 30% pore space,  $K_s = 0.03 \text{ cm/sec}$ ,  $h_f = 25 \text{ cm}$  and  $d = 20 \text{ cm}$ .

### Wetting/Drying Hysteresis: Matric Potential Controlled by Size of Filled Pores

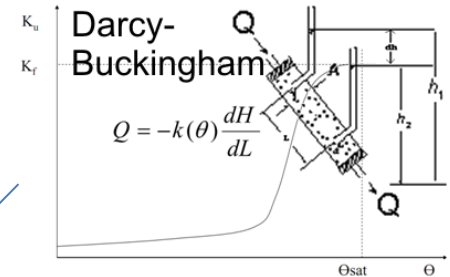


## Kontinuitätsgleichung / Equation of Continuity (Conservation of Mass)



$$-\frac{\partial \theta_w}{\partial t} = \frac{\partial j_w}{\partial x} + \frac{\partial j_w}{\partial y} + \frac{\partial j_w}{\partial z} = \nabla j_w$$

The rate of change of the mass within a volume equals the mass flow across the volume's boundary



$$j_w = -K(\theta_w) \nabla (\psi_m + \psi_g)$$

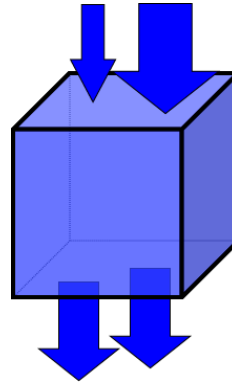
$$-\frac{\partial \theta_w}{\partial t} = -\nabla \left[ K(\theta_w) \left[ i \frac{\partial \psi_m}{\partial x} + j \frac{\partial \psi_m}{\partial y} + k \left( \frac{\partial \psi_m + \partial \psi_g}{\partial z} \right) \right] \right]$$

## Richards' Equation

$$-\frac{\partial \theta_w}{\partial t} = \frac{\partial j_w}{\partial z} = \nabla j_w$$

$$\frac{\partial \theta_w}{\partial t} = \nabla \left[ K(\theta_w) \left[ \frac{\partial \psi_w}{\partial z} \right] \right] = \frac{\partial}{\partial z} \left( K(\theta_w) \frac{\partial \psi_w}{\partial z} \right)$$

$$\frac{\partial \theta_w}{\partial t} = \frac{\partial}{\partial z} \left( K(\theta_w) \frac{\partial \psi_w}{\partial z} \right) \quad \text{1D-Richards-Gleichung}$$

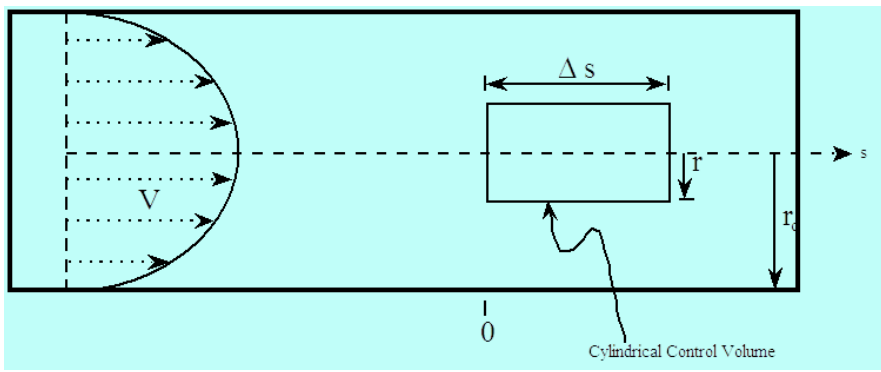


$$-\frac{\partial \theta_w}{\partial t} = -\nabla \left[ K(\theta_w) \left[ i \frac{\partial \psi_m}{\partial x} + j \frac{\partial \psi_m}{\partial y} + k \left( \frac{\partial \psi_m + \partial \psi_g}{\partial z} \right) \right] \right]$$

Remember that the potential gradient  $\frac{\partial \psi_w}{\partial z}$ , combines elevation, osmotic, pressure, and matric components (among others).

Sometimes it's convenient to separate out the elevation part:

$$\frac{\partial \theta_w}{\partial t} = \frac{\partial}{\partial z} \left( K(\theta_w) \left( \frac{\partial \psi_m}{\partial z} + 1 \right) \right) \quad \frac{\partial \theta_w}{\partial t} = \frac{\partial}{\partial x} \left( K(\theta_w) \left( \frac{\partial \psi_m}{\partial x} + 0 \right) \right)$$



Kräftegleichgewicht  $P\pi r^2 - (P + \Delta S \frac{dP}{dS}) \pi r^2 - 2\pi r \Delta S \tau = 0$

Druckkräfte am Anfang und Ende:

bei  $S = 0$   $F_1 = P\pi r^2$   
 bei  $S = \Delta S$   $F_2 = (P + \Delta S \frac{dP}{dS}) \pi r^2$

Scherkraft:

$F_s = 2\pi r \Delta S \tau$

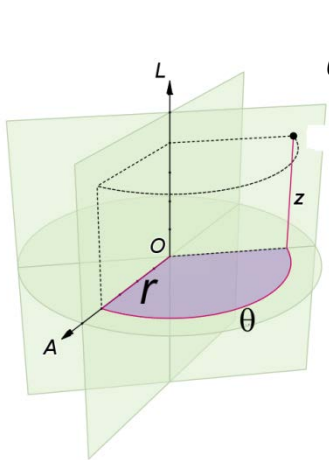
Scherspannung  $\tau$

$\tau = F/A$  bzw. mit Viskosität  $\tau = -\mu \frac{dv}{dr}$

$\tau = -\frac{r}{2} \frac{dP}{dS}$

$\int_{v=0}^{v=v(r)} dv = \int_{r=r_0}^r \frac{r}{2\mu} \frac{dP}{dS} dr$

$v(r) = \frac{(r^2 - r_0^2)}{4\mu} \frac{dP}{dS}$

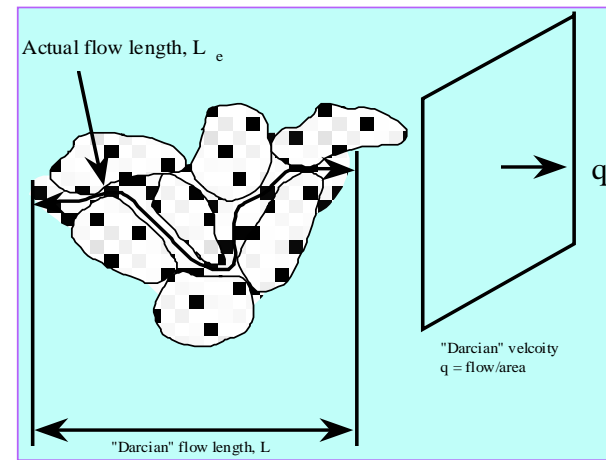


$Q = \int_{\theta=0}^{\theta=2\pi} \int_{r=0}^{r=r_0} \frac{(r^2 - r_0^2)}{4\mu} \frac{dP}{dS} r dr d\theta$

Hagen-Poiseuille Equation

$Q = -\frac{\pi r^4}{\mu 8} \frac{dP}{dS}$

$v = -\frac{1}{\mu 8} \frac{r^2 dP}{dS}$



$\frac{\Delta P}{\Delta L} = \frac{L_e}{L} \frac{\Delta P}{\Delta L_e}$

$v = \frac{q L_e}{n L}$

$L_e/L$  Verhältnis der wahren Fließpfadlänge zur Darcy-Länge

Pore velocity ( $v$ ) is related to the Darcy flux ( $q$ ) by the porosity ( $n$ ).

$q = -\frac{n r^2 \Delta P}{\mu 8 \Delta L} \left(\frac{L}{L_e}\right)^2$

Vergleich mit Darcy's law

Zusammenfassung der Konstanten

$K = C r^2 \left(\frac{L}{L_e}\right)^2$

K goes down with:

Tortuosity  $\tau = \left(\frac{L_e}{L}\right)^2$

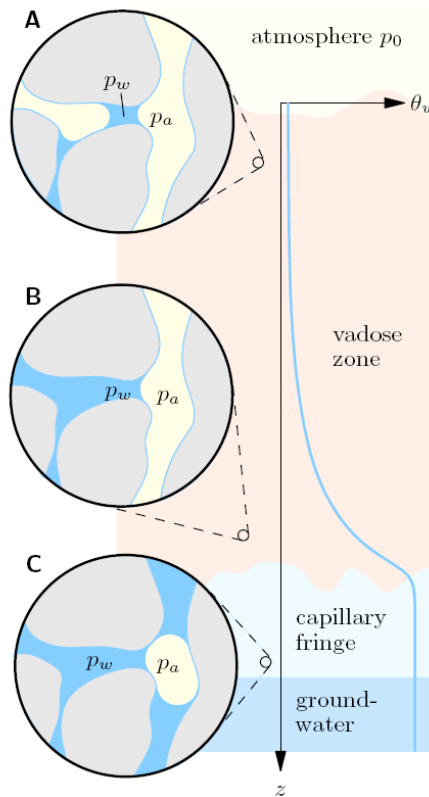
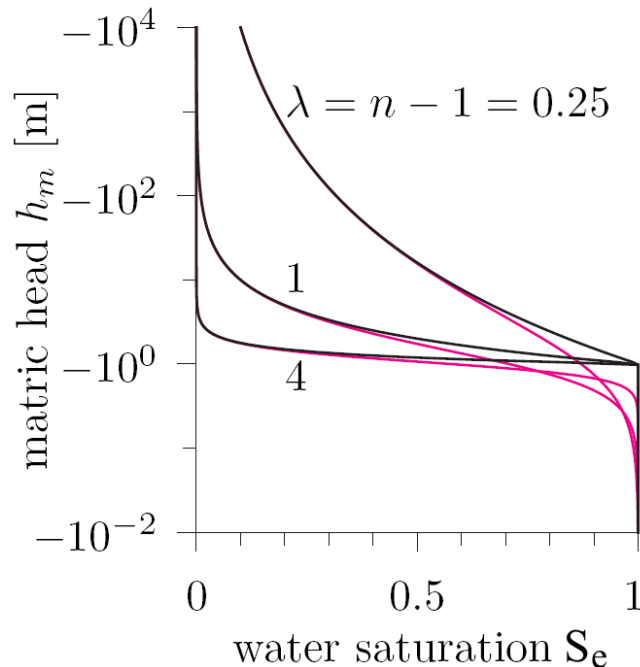
$$S_e = \frac{\theta - \theta_r}{\theta_s - \theta_r}$$

$S_e$  = effektive Wassersättigung  
 $\theta_s$  = gesättigter Wassergehalt  
 $\theta_r$  = Rest-Wassergehalt (residual)

### Brooks-Corey Parametrisierung

$$S_e(h_m) = \begin{cases} \left[ \frac{h_m}{h_0} \right]^{-\lambda} & ; h_m < h_0, \\ 1 & ; h_m \geq h_0, \end{cases}$$

$$h_m(S_e) = h_0 S_e^{-1/\lambda}$$



(A) Water content  $\theta_w$  is typically small enough that the air phase is continuous through large conduits: gradients of  $p_a$  are negligible compared to those of  $p_w$ . The two phases are decoupled leading to a degenerate multiphase regime.

(B) Nearer to groundwater, or with strong infiltration fronts,  $\theta_w$  increases such that the air phase remains continuous but air content  $a$  is so small that gradients of  $p_a$  are no longer negligible. The two phases become strongly coupled in this continuous multiphase regime.

(C) With  $\theta_w$  increasing even further (capillary fringe) the air phase becomes discontinuous (residual) with air bubbles typically blocking large openings. In this discontinuous multiphase regime, air flow is no more continuous.

(Roth 2004)

### Van Genuchten Parametrisierung

$$S_e(h_m) = [1 + [\alpha h_m]^n]^{-m}$$

$$m = 1 - 1/n$$

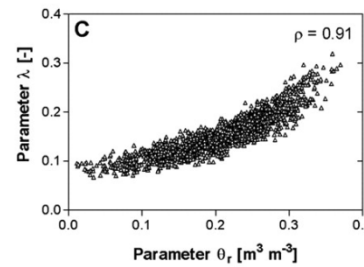
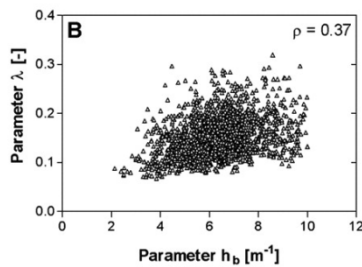
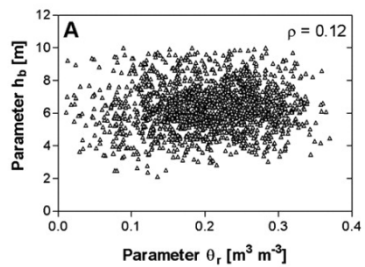
$$S_e(h_m) = [1 + [\alpha h_m]^n]^{-1 + \frac{1}{n}}$$

$$h_m(S_e) = \alpha^{-1} [S_e^{-n/[n-1]} - 1]^{\frac{1}{n}}$$

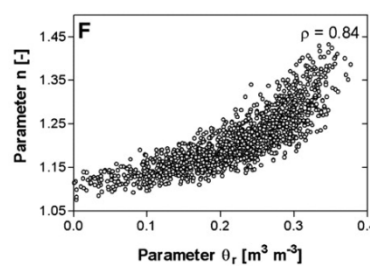
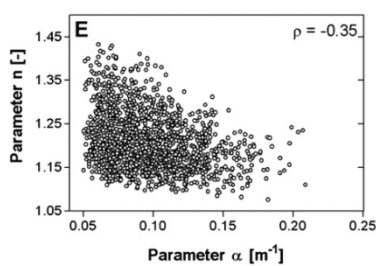
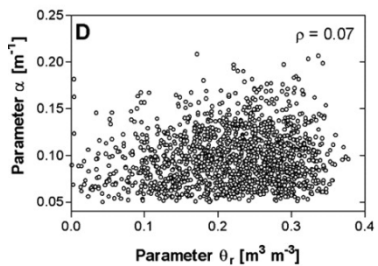


Optimized soil hydraulic parameters of the sandy, sandy loam, and clayey soil for the selected parametric models. Also included are the RMSE values and model adequacy values at the final solution (in parentheses).

Parameter	Unit	Sandy soil	Sandy loam	Clayey soil
Brooks and Corey				
$\theta_s$	$m^3 m^{-3}$	0.34	0.37	0.55
$\theta_r$	$m^3 m^{-3}$	0.03	0.05	0.01
$h_b$	m	0.36	0.72	5.83
$\lambda$	-	2.42	0.55	0.09
RMSE $_{\theta}$	$m^3 m^{-3}$	0.0089 (0.30)	0.0082 (0.30)	0.0067 (0.76)
van Genuchten				
$\theta_s$	$m^3 m^{-3}$	0.35	0.38	0.55
$\theta_r$	$m^3 m^{-3}$	0.03	0.06	0.05
$\alpha$	$m^{-1}$	2.13	0.82	0.08
$n$	-	5.65	1.80	1.13



BROOKS AND COREY



VAN GENUCHTEN

Toward Improved Identifiability of Soil Hydraulic Parameters - On the Selection of a Suitable Parametric Model  
**Jasper A. Vrugt<sup>a</sup>, Willem Bouten<sup>a</sup>, Hoshin V. Gupta<sup>b</sup> and Jan W. Hopmans**

## Mualem

Annahme: zufällig verbundene Kapillarbündel.  
Leitfähigkeit eines einzelnen Fließpfades wird durch seinen kleinste Radius bestimmt.  
Verzweigungen werden nicht berücksichtigt.

Ersetzung des kleinsten Radius durch einen effektiven Radius  
(Idee von Burdine [1953])

Annahme: Geometrische Ähnlichkeit der Poren  
→ Geometrische Mittelbildung

$$K(S_e) = K_0 S_e^a \left[ \frac{\int_0^{S_e} (S_e - \theta) h_m(\theta)^{-2} d\theta}{\int_0^1 (S_e - \theta) h_m(\theta)^{-2} d\theta} \right]$$

$$K(S_e) = K_0 S_e^a \left[ \frac{\int_0^{S_e} h_m(\theta)^{-2} d\theta}{\int_0^1 h_m(\theta)^{-2} d\theta} \right]$$

$$K(S_e) = K_0 S_e^a \left[ \frac{\int_0^{S_e} h_m(\theta)^{-1} d\theta}{\int_0^1 h_m(\theta)^{-1} d\theta} \right]^2$$

$a$  = freier Parameter

$S_e^a$  = effektive Sättigung unter Berücksichtigung der Tortuosität

$K_0$  = gesättigte hydraulische Leitfähigkeit

## Mualem-Brooks-Corey

$$h_m(S_e) = h_0 S_e^{-1/\lambda}$$

$$h_m(\theta) = h_0 \left[ \frac{\theta - \theta_r}{\theta_s - \theta_r} \right]^{-\frac{1}{\lambda}}$$

$$K(S_e) = K_0 S_e^a \left[ \frac{\int_{\theta_r}^{\theta} \left[ h_0 \left[ \frac{\theta - \theta_r}{\theta_s - \theta_r} \right]^{-\frac{1}{\lambda}} \right]^{-1} d\theta}{\int_{\theta_r}^{\theta_s} \left[ h_0 \left[ \frac{\theta - \theta_r}{\theta_s - \theta_r} \right]^{-\frac{1}{\lambda}} \right]^{-1} d\theta} \right]^2$$

$$K(S_e) = K_0 S_e^{a+2+\frac{2}{\lambda}}$$

$$K(h_m) = \begin{cases} K_0 \left[ \frac{h_m}{h_0} \right]^{-2-\lambda[a+2]} & ; h_m < h_0, \\ K_0 & ; h_m \geq h_0, \end{cases}$$

## Mualem - van Genuchten

$$h_m(S_e) = \alpha^{-1} \left[ S_e^{-n/[n-1]} - 1 \right]^{\frac{1}{n}}$$

$$K(S_e) = K_0 S_e^a \left[ 1 - \left[ 1 - S_e^{\frac{n}{[n-1]}} \right]^{1-\frac{1}{n}} \right]^2$$

$$S_e(h_m) = \left[ 1 + [\alpha h_m]^n \right]^{-1+\frac{1}{n}}$$

$$K(h_m) = K_0 \left[ 1 + [\alpha h_m]^n \right]^{-a[1-\frac{1}{n}]} \left[ 1 - [\alpha h_m]^{n-1} \left[ 1 + [\alpha h_m]^n \right]^{-1+\frac{1}{n}} \right]^2$$

### Brooks and Corey

Mit  $a = 1$  und  $m = 1-1/n$

$$\frac{K(h)}{K_s} = \left( \frac{h}{h_b} \right)^{-2-3\lambda}$$

$$\Theta = \frac{\theta - \theta_r}{\theta_s - \theta_r}$$

$$\frac{K(\Theta)}{K_s} = \Theta^{3+\frac{2}{\lambda}}$$

### Mualem - van Genuchten

Mit  $a = 1$  und  $m = 1-1/n$

$$\frac{K(h)}{K_s} = \frac{\left[ \left( 1 - (\alpha h)^{n-1} \left[ 1 + (\alpha h)^n \right]^{-m} \right) \right]^2}{\left[ 1 + (\alpha h)^n \right]^{\frac{m}{2}}}$$

$$\Theta = \frac{\theta - \theta_r}{\theta_s - \theta_r}$$

$$\frac{K(\Theta)}{K_s} = \Theta^{\frac{1}{2}} \left[ 1 - \left( 1 - \Theta^{\frac{1}{m}} \right)^m \right]^2$$

**Table 5.1.** Mualem-van Genuchten parameters for hydraulic properties  $\theta(h_m)$ ,  $K(\theta)$ , and  $K(h_m)$  shown in Figure 5.3. The parameters have been adapted from [van Dam et al., 1992] who fitted them to measured data. The last column is the slope  $\kappa = a - n[a + 2]$  of  $K(h_m)$  in a double logarithmic plot for  $\alpha h_m \gg 1$  as given by (5.28). It is identical to the slope of  $K(h_m)$  in the Mualem-Brooks- Corey model (5.26).

	$\theta_r$	$\theta_s$	$\alpha$ [m <sup>-1</sup> ]	$n$	$a$	$K_0$ [m s <sup>-1</sup> ]	$\kappa$
sand	0.03	0.32	-2.3	4.17	-1.1	$2.2 \cdot 10^{-5}$	-4.9
silt	0.01	0.41	-0.7	1.30	0.0	$1.0 \cdot 10^{-5}$	-2.6
loam	0.00	0.43	-1.6	1.25	0.0	$0.3 \cdot 10^{-5}$	-2.5

Der Hohe Grad der Nichtlinearität macht es praktisch unmöglich eine analytische Lösung zu erstellen

- 1) Gebietsdiskretisierung: 1D bzw. 2D (Grid)
- 2) Diskretisierung der partiellen Differenzialgleichung
- 3) Anwendung von Anfangs- und Randbedingungen.
- 4) Code Entwicklung, der die Gleichungen für das ganze Gebiet löst (Matrix)

$$\frac{\partial \theta}{\partial t} = \frac{\partial}{\partial z} \left( K(h) \left( \frac{\partial h}{\partial z} + 1 \right) \right)$$

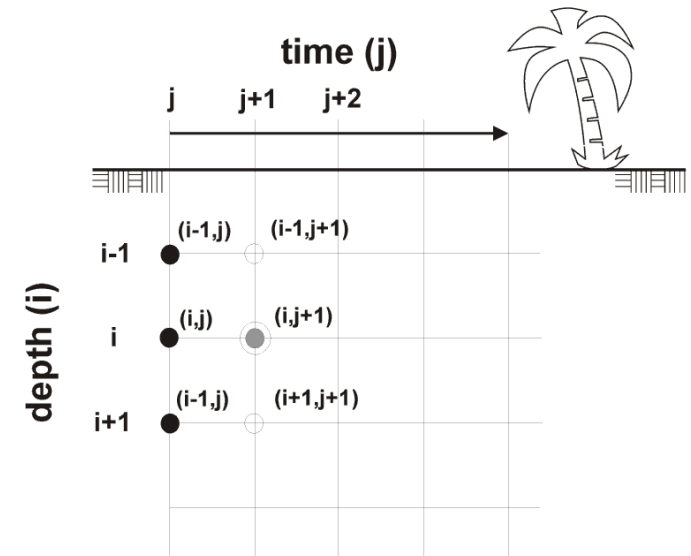
$$\frac{\partial \theta}{\partial t} = \frac{\theta_i^{j+1} - \theta_i^j}{\Delta t} = \frac{(h_{i-1}^j - h_i^j + \Delta z) K_{i-1/2}^j}{\Delta z^2} - \frac{(h_i^j - h_{i+1}^j + \Delta z) K_{i+1/2}^j}{\Delta z^2}$$

$$\theta_i^{j+1} = \theta_i^j + \frac{\Delta t}{\Delta z^2} \left[ (h_{i-1}^j - h_i^j + \Delta z) K_{i-1/2}^j - (h_i^j - h_{i+1}^j + \Delta z) K_{i+1/2}^j \right]$$

$\theta_i^{j+1}$ , the water content for the i-th depth increment at the next (future) time step

K relates to transfers between two soil layers K must be averaged to represent both layers as:  $K([h_i^j + h_{i+1}^j]/2) = K_{i+1/2}^j$ .

$$\frac{K(h)}{K_s} = \frac{\left[ \left( 1 - (\alpha h)^{n-1} \left[ 1 + (\alpha h)^n \right]^{-m} \right) \right]^2}{\left[ 1 + (\alpha h)^n \right]^{\frac{m}{2}}}$$



● At time j the water content for the soil profile is known (initial conditions)

● We want to evaluate the water content at the depth i and the time j+1

